

НЕКОТОРЫЕ РЕЗУЛЬТАТЫ ЭКСПЕРИМЕНТАЛЬНОГО ИССЛЕДОВАНИЯ  
ПРОЦЕССА ДВИЖЕНИЯ МЕМБРАН  
ПЛЕНОЧНЫХ ЭЛЕКТРОСТАТИЧЕСКИХ РЕЛЕ

А.Г.Кириллов, М.П.Тычинская

1. Постановка задачи. При обследовании макетных образцов пленочных электростатических реле [1] были выявлены значительные расхождения между расчетными параметрами приборов [1,2] и их измеренными значениями [1,3]; в частности, напряжения срабатывания макетных образцов оказались в 2-10 раз выше расчетных. Это может быть результатом воздействия ряда факторов, таких как отклонения геометрии ПЭР в результате несовершенства технологии изготовления (деформация мембран, наличие посторонних частиц в рабочем зазоре реле и микронеоднородностей на поверхности мембранны, управляющего электрода и изолятора), расхождение в механических характеристиках и величине натяжения расчетной и реальной мембранны.

Изучение движения различных точек мембранны ПЭР позволяет уяснить некоторые причины расхождения реальных и расчетных характеристик реле и, следовательно, определить пути совершенствования конструкции и технологии изготовления приборов.

2. Методика измерений. Прибор, на котором выполнялись измерения, представляет собой локатор, работающий на эффекте Допплера в видимом диапазоне спектра электромагнитных волн. Генератором в приборе служит лазер непрерывного излучения с длиной волны  $\lambda = 0,63 \text{ мкм}$ , луч которого расщепляется на опорный и рабочий и фокусируется на измеряемом объекте. При перемещении объекта отраженная от него часть луча имеет частоту, отличающуюся от частоты опорного луча на величину  $\Delta f$ , которая пропорциональна скорости перемещения объекта.

Отраженный от объекта и опорный лучи направляются в фотоумножитель, на выходе которого выделяются изменения. Развертка сигнала с выхода фотоумножителя на экране осциллографа позволяет восстановить график движения облучаемой точки объекта. При амплитуде перемещения объекта, равной или меньшей четверти длины волны опорного луча, на экране осциллографа непосредственно получается кривая перемещения  $x = f(l)$ . При перемещениях объекта, больших четверти длины волны излучения лазера, на экране осциллографа наблюдаются колебания. В этом случае величина перемещения в единицу времени может быть охарактеризована числом колебаний, приходящихся на единицу длины развертки. Таким образом, при известной скорости развертки осциллографа можно построить график движения объекта. Смена фазы колебаний свидетельствует об изменении направления движения, отсутствие колебаний – о его остановке. Дополнительной характеристикой при обследовании плоских объектов может служить изменение амплитуды выходных колебаний, свидетельствующее о повороте плоскости объекта относительно направления луча, что приводит к ослаблению отраженного сигнала, попадающего в оптическую систему.

Более подробно принцип работы прибора описан в [4]. Возможность ограничить размеры обследуемой точки сечением сфокусированного лазерного луча (20 мкм в плоскости объекта), отсутствие на объекте датчика, изменяющего механические характеристики системы, малая мощность луча, исключающая значительный разогрев объекта – все это делает указанный прибор весьма перспективным для исследования движения тонкопленочных элементов конструкций.

Измерения на образцах ПЭР проводились при нормальном атмосферном давлении в следующем режиме коммутируемой цепи:  $U_k = 6$  в на разомкнутых контактах и  $I_k = 1$  мА в замкнутом состоянии.

**3. Результаты измерений.** Для наблюдения за перемещением мембранны были выбраны наиболее характерные точки ее поверхности: над контактом и над управляющими электродами в средней их части. На рис. I показано схематическое изображение реле и расположение точек, на которых выполнялись измерения. Такое размещение контрольных точек позволяет составить достаточно полное представление о перемещениях мембранны под действием управляющего электрического сигнала.

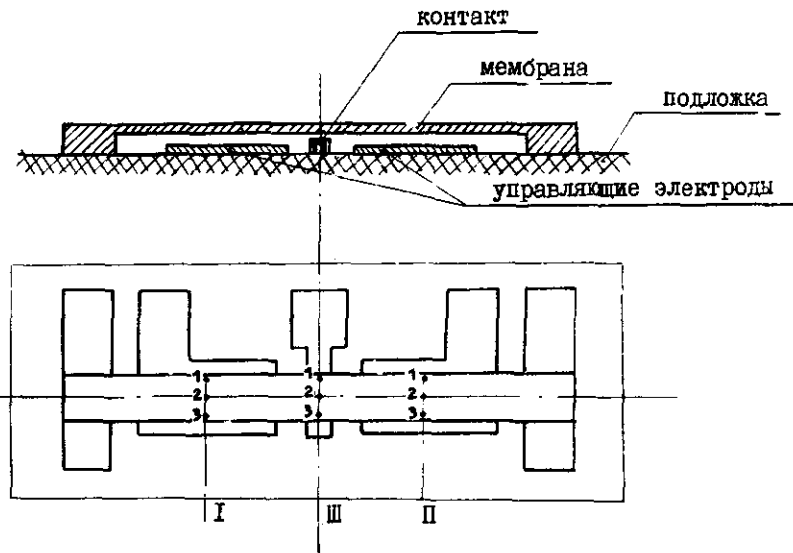
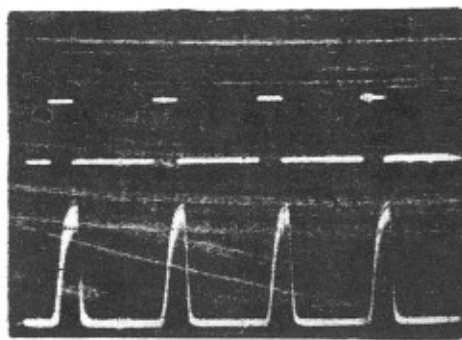


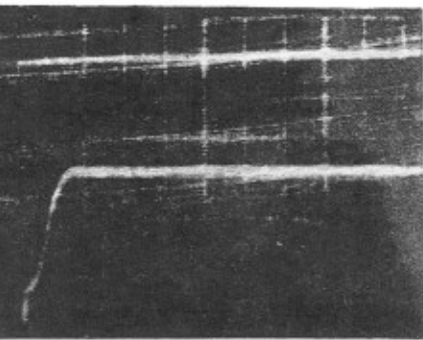
Рис. I

Для возбуждения мембранны применялись прямоугольные импульсы от генератора стандартных сигналов.

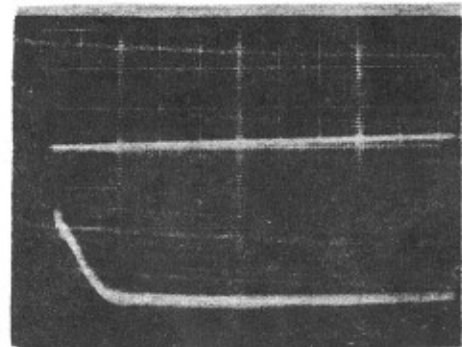
Примерные осциллограммы перемещения мембранны при различных величинах управляющего сигнала приведены на рис. 2. На рис. 2, а, б, в можно видеть непосредственно график  $x = f(t)$  перемещения мембранны, так как приложенное напряжение обеспечивает ход мембранны только в пределах четверти длины волны луча лазера. При увеличении управляющего напряжения вид осциллограмм (рис. 2, г, д, е, ж, з) существенно усложняется, и для получения графика движения мембранны требуется ее расшифровка. Пример расшифровки таких сложных осциллограмм показан на рис. 3. Движение мембранны после снятия управляющего напряжения иллюстрируют осциллограммы рис. 2, в, е, з. На осциллограмме рис. 2, д отчетливо видна задержка движения мембранны относительно управляющего напряжения. По осциллограмме рис. 2, е можно судить о доброкачественности мембранны.



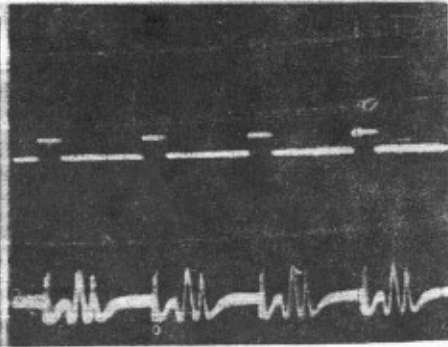
а) Точка I-2;  
 $U_y = 5,6$  в;  $S_x = 4$  мсек/см.  
Ход мембранны  $\alpha \approx \lambda/4 \approx 1580\text{мкм}$ .



б) Точка II-2  
 $U_y = 15$  в;  $S_x = 50$  мкесек/см.  
Ход мембранны  $\alpha \approx \lambda/4 \approx 1580\text{мкм}$ .

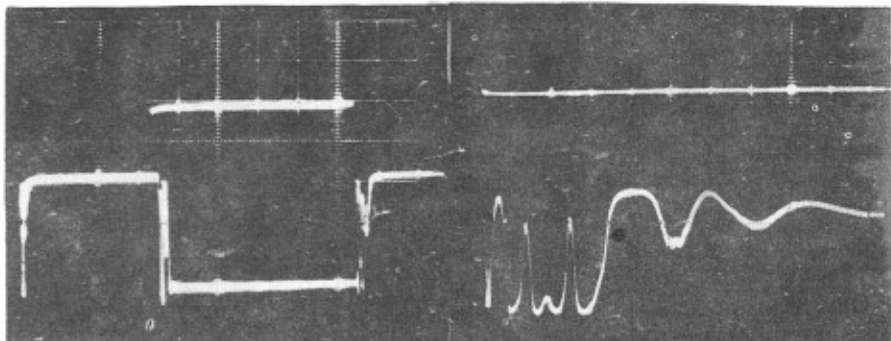


в) Точка II-2  
 $U_y = 0$  (было  $U_y = 15$  в);  
 $S_x = 50$  мкесек/см.



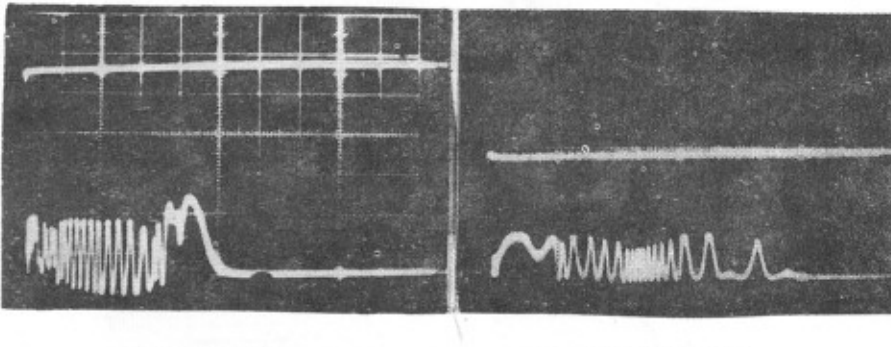
г) Точка I-2  
 $U_y = 18$  в;  $S_x = 4$  мкесек/см.  
Ход мембранны  $\alpha = 2,5 \lambda \approx 0,79$  мкм

Рис. 2. (лист I). Осциллограммы перемещения мембран ПЭР при воздействии различных управляющих сигналов (верхний луч – управляющее напряжение, нижний – обработанный сигнал с выхода фотоумножителя).



д) Точка III-2  
 $U_y = 36$  в;  $S_x = 0,5$  мсек/см.

е) Точка III-2  
 $U_y = 0$  (было  $U_y = 36$  в);  
 $S_x = \frac{20}{\text{мкесек}}$  см



ж) Точка III-2  
 $U_y = 68$  в;  $S_x = 20$  мкесек/см.

з) Точка III-2  
 $U_y = 0$  (было  $U_y = 77$  в);  
 $S_x = \frac{0,5}{\text{мсек}}$  см

Рис. 2 (лист 2). Осциллограммы перемещения мембран ПЭР при воздействии различных управляющих сигналов (верхний луч – управляющее напряжение, нижний – обработанный сигнал с выхода фотоумножителя).

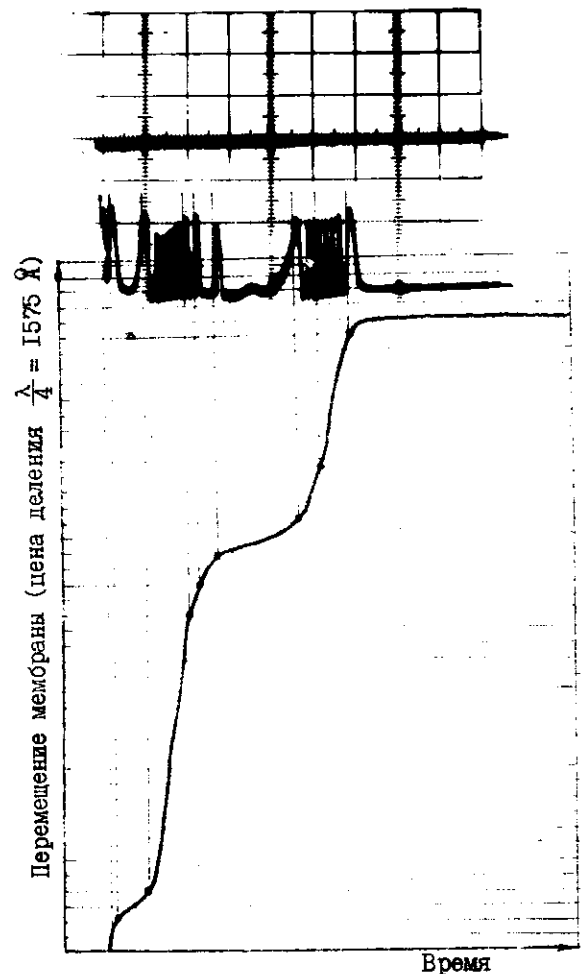


Рис. 3. Пример расшифровки осциллограммы перемещения мембранны реле

Изучение движения мембран образцов ПЭР в различных поперечных сечениях и в различных точках одного сечения показало, что уже при малых управляющих напряжениях перемещение мембранны существенно отличается от плоскоапараллельного. Величины переме-

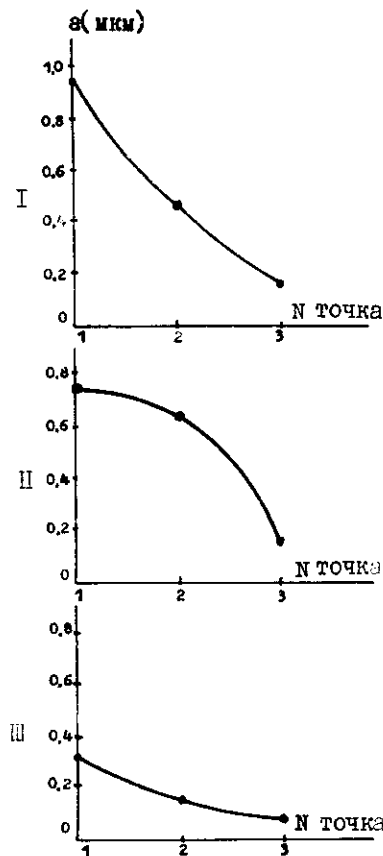


Рис. 4

го зазора. Измерения показали, что у всех обследованных образцов реле мембрана перемещается несимметрично. В отдельных случаях на мемbrane при перемещении ее над управляющим электродом имеются точки, конечный прогиб которых под действием управляющего импульса на порядок меньше теоретически [1,2] ожидаемого или вообще отсутствует. Пример распределения прогиба мембранны ПЭР по ее длине при срабатывании показан на рис. 5. Таким образом, допущение о симметричном прогибе мембранны под действием

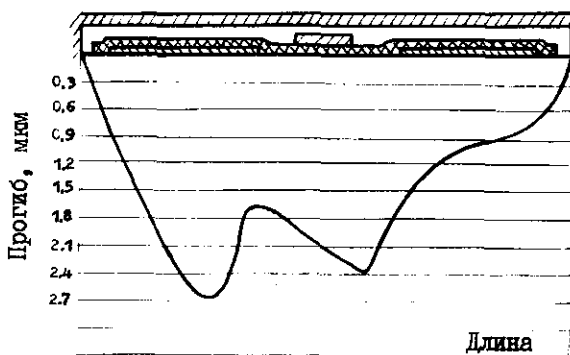


Рис. 5

управляющего напряжения, примененное в работах [1,2], не находит экспериментального подтверждения.

Отмечен ряд характерных особенностей движения мембранных образцов. В процессе движения мембранных над контактом реле (наб-

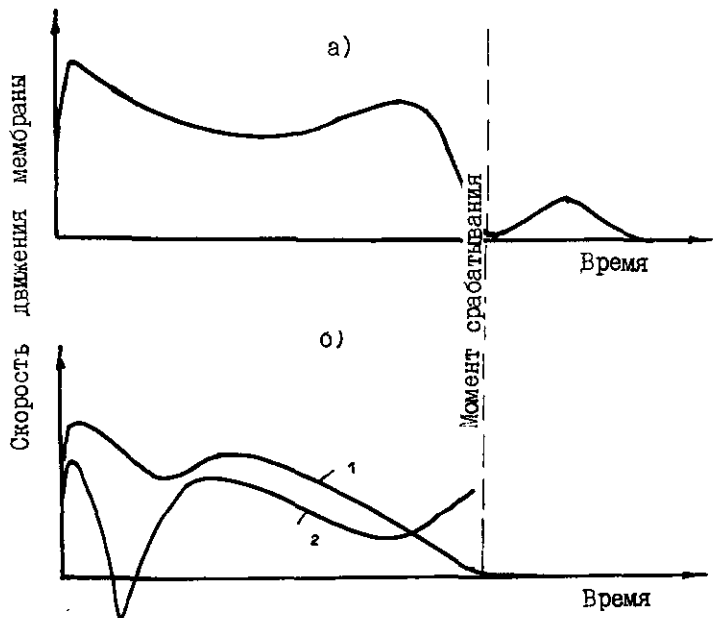


Рис. 6

людение в точке III-2, рис. 1) условно можно выделить два этапа, разделенных моментом электрического замыкания контактов и существенно отличающиеся по скорости. Качественная зависимость скорости движения мембранных под действием напряжения срабатывания показана на рис. 6, а. Для сравнения на рис. 6, б приведена аналогичная зависимость для точек мембранных над управляющим электродом (кривые 1 и 2, соответственно, слева и справа от контакта в одном приборе).

Первый этап заканчивается электрическим срабатыванием. Перемещение мембранных во втором этапе составляет 0,3 - 0,6 мкм, и, вероятно, является следствием оправления микровыступов на контактах. Во всех измерениях отмечено, что изменение напряжения на управляющих электродах от величины напряжения срабатывания и выше не приводит к изменению характера движения, но время прохождения каждого этапа существенно сокращается.

При размыкании контактов наблюдается "дребезг" мембранных с амплитудой порядка 0,15 мкм в течение 5 - 15 мксек. На рис. 7 приведена качественная зависимость скорости мембранных от времени после размыкания контактов.

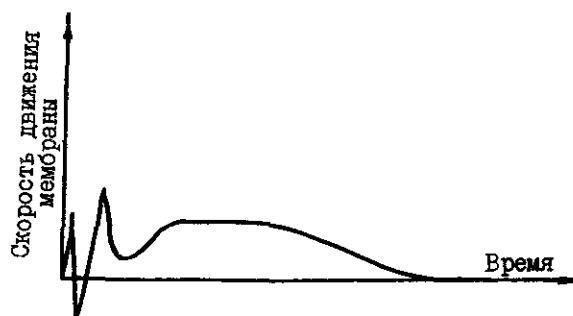


Рис. 7

Обследование образцов ПЭР с различными конструкциями мембранных (с мембранными шириной 0,15 мм, 1 мм и переменного сечения) показало, что характер движения мембранных всех конструкций практически одинаков. Можно лишь отметить более чет-

кую фиксацию положений при срабатывании и отпускании и большее количество точек с ограниченным перемещением у широких мембранных в сравнении с узкими.

На основании проведенных измерений могут быть сделаны некоторые практические выводы:

1. Перемещение мембранны реальных образцов пленочных электростатических реле гораздо сложнее, чем в идеализированной модели, принятой для расчетов в [1,2]. Для получения удовлетворительного совпадения экспериментальных и расчетных результатов необходима разработка более совершенной модели.

2. При значении управляющего напряжения, равном напряжению срабатывания, мембрана имеет полную амплитуду перемещения, практически не увеличивающуюся при дальнейшем увеличении напряжения. При этом в области контакта всегда имеет место замедление движения мембранны.

3. Использовавшиеся при изготовлении образцов технологические приемы изготовления реле не обеспечивают получения повторяющихся результатов по геометрии и параметрам.

#### Л и т е р а т у р а

1. ДЯТЛОВ В.Л., СОЛДАТЕНКО И.С. Некоторые результаты исследований пленочных электростатических реле. -В кн.: Вычислительные системы. Труды I Всесоюзной конференции по вычислительным системам. Вып. 5. Физико-технологические исследования. Новосибирск, 1968, с. 159-176.

2. ПОЛИНА Т.В., ПОТАЛОВ Б.С. Статические характеристики пленочных электростатических реле с выступающим контактом. -В кн.: Вычислительные системы. Вып. 46. Новосибирск, 1971, с. 8-13.

3. ИГНАТЕНКО П.С., СОЛДАТЕНКО И.С. Экспериментальное исследование импульсных характеристик реле. -В кн.: Вычислительные системы. Материалы к II Всесоюзной конференции, секция IV. Новосибирск, 1969, с. 60-63.

4. ВАНЕЦИАН Р.А., ТЫЧИНСКАЯ М.П., ЗАХАРОВ В.П., НИКОЛАЕВА О.А., ТИЩЕНКО В.А. Лазерная установка для измерения амплитуд и резонансных частот колебаний элементов механических конструкций. -"Квантовая электроника", 1971, с.

5. ДЯТЛОВ В.Л., РОГАЛЕВ А.И. Электромеханические пленочные элементы. -В кн.: Вычислительные системы. Вып. 49. Новосибирск, 1972, с. 132-146.

Поступила в ред.-изд. отд.  
28 декабря 1973 года